

三菱重工長崎研究所 笠口辰宏 正坂田弘 田中博喜
 ハ広島研究所 桑野研一 ○正西谷晴光

1. まえがき

風が迎角をもって吊橋に吹きつける時のフラッター限界風速は、風の流れが、吊橋断面からハクリするためには、失速状態となり、クラシカルフラッターと異なる。飛行機の場合には、この現象が論じられ、研究されてきたが、失速フラッターの限界風速は、クラシカルフラッターの限界風速よりも、大巾に下がる。この問題について、前回報告でも、簡単にふれて、実験結果を報告したが、今回は、失速領域での現象を、トラス形吊橋断面と、箱形吊橋断面の場合を例により、検討する。

2. 非定常空気力

流れが失速している場合は、失速のない時の非定常空気力と、大巾に異なった空気力を生ずる事が多く、また、それらの空気力を、理論的に推定することは困難である。吊橋の場合は、水平風の状態で、すでに失速をする断面形状もあるが、水平方向と 10° で吹き上げようとした風の中では、ほとんどの吊橋が、失速した流れになる。このように、失速した場合の非定常空気力を求めるのは、理論的には、不可能である以上、実験によると外はない。我々は、文献(1)で紹介したような方法で、トラス形及び箱形断面吊橋模型を使用して、風速迎角 10° で、吹き上げる場合の非定常空気力を計測した。その1例を図に示すが、流れが、失速しているために、空気力は複雑な周期函数となる。これに対しては、文献(2)でも取り扱っているように、フーリエ級数に展開して、その半周期のみをとった。図1、2は

、トラス形及び箱形断面吊橋
 が回転運動をしている時の非
 定常空気力の位相差 β である。
 これを失速のない平板の理
 論計算値(文献(3))と比較す
 ると、図1、2からわかるよ
 うに、失速のある時は、振動
 数により位相差が、大巾に変
 やる。また、振動の振巾によ
 っても、非定常空気力は、異
 なっている事がわかる。

3. 失速フラッターの特徴

空気力の項でも述べたように、失速フラッターでは、振動の振巾によって空気力が、異なるのでフラッター限界風速も振巾によって異なってくる。トラス形の場合の振巾と風速の関係を図3に示す。即ち、実験模型は、ある風速で急に振巾 2° の振動を始めると、それから風速を増すと、振巾はそれにつれて増加する。逆に、風速を下げると振巾は小さくなっていくが、振巾 2° で急にフラッターを停止する。また、この時のフラッター現象は、ほとんど振り振動のみで起り、振動数は、振りの固有振動

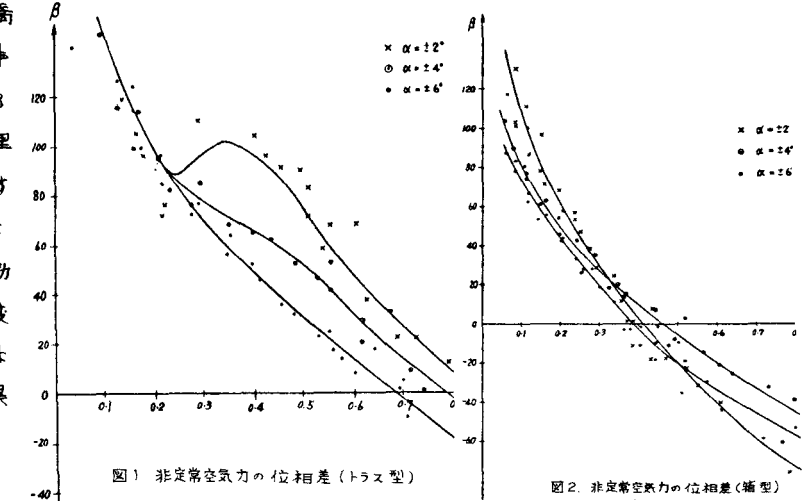


図1 非定常空気力の位相差(トラス型)

図2 非定常空気力の位相差(箱型)

数に接近している。このように、失速フラッターは、ある風速で振動数が持続し、又、フランカルフラッタの場合のように、ある風速以上で、振幅が急激に増加して発散すると言うようなことはないが、フラッター限界風速は、失速のない場合よりも低下するのが普通である。

4. 吊橋の構造特性とフラッター

構造量が、フラッター限界風速に及ぼす影響を調べるために、試みに吊橋の重量と回転慣性モーメントを種々変化させて計算したものが、図4である。これによると、振動数を一定とした場合の危険風速は、重量の大きい方が安定になる傾向を有している。次に、模型実験によると、フラッター限界風速と実橋の危険風速の関係を調べるために、二次元模型により求めた非定常空気力を利用して、三次元模型のフラッター限界風速を計算し、それに実験結果を記入したものと図5に示す。この図をみると、実験値は、計算値と精度よく合致しており、二次元的に求めた非定常空気力によりフラッター限界風速が推定できることはある。そこで、実橋の場合の構造量(箱形断面の場合: $\mu = 6.876$, $\nu = 1.435$)トスス型断面の場合: $\mu = 33.741$, $\nu = 6.55$)を、実験に使った模型の構造量(表)と比べると、その値は大きく相異している。これは、小さな風洞内での実験では、いろいろな制約条件のために、実物と模型を相似させることは困難である事を物語っている。本実験では、図4にも示したように、実橋と比較すると、 μ , ν ともかなり大きな領域での実験をしている事になる。それ故に、実橋の危険風速の推定にあたっては、その構造特性を使用して別途、フラッター計算をする必要がある。

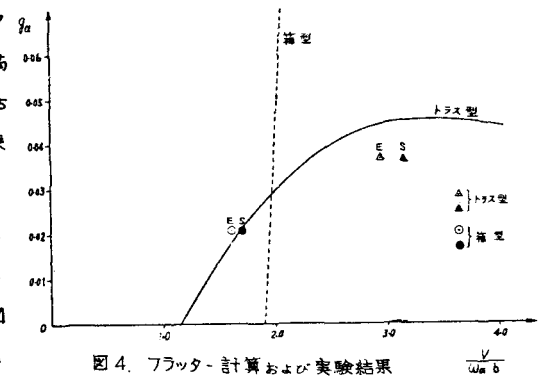
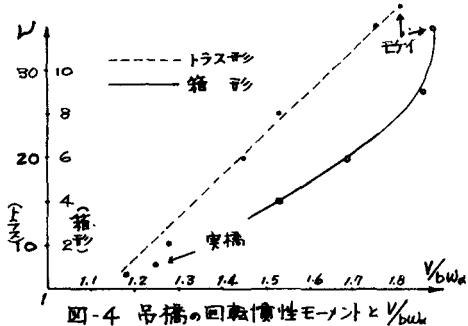
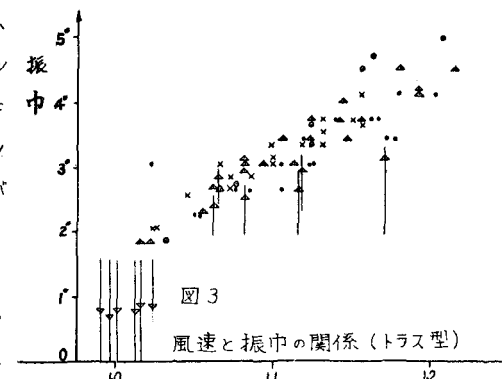
6. おさげ

以上述べたように、失速フラッターカ場合は、フランカルフラッタと異なるが、本方法により、吊橋の失速フラッター限界風速の推定も可能と思われる。

参考文献 1. 笠口、坂田: 日本航空学会誌 Vol.13 No.133

2. 笠口、坂田、西谷: Vol.14 No.146

3. Theodorsen T d Gannick: General Theory of Aerodynamic Instability and the Mechanism of Flutter



| | トスス型 | 箱型 |
|----------|---|---|
| b | 40 mm | 56.5 mm |
| w_{x1} | $24.1 \frac{\text{rad}}{\text{sec}}$ | $32.8 \frac{\text{rad}}{\text{sec}}$ |
| w_{x2} | $64.7 \frac{\text{rad}}{\text{sec}}$ | $57.2 \frac{\text{rad}}{\text{sec}}$ |
| M | $0.0454 \frac{\text{kg} \cdot \text{sec}^2}{\text{m}^2}$ | $0.0385 \frac{\text{kg} \cdot \text{sec}^2}{\text{m}^2}$ |
| I_d | $4.01 \times 10^{-5} \frac{\text{kg} \cdot \text{sec}^2}{\text{m}^4}$ | $5.09 \times 10^{-5} \frac{\text{kg} \cdot \text{sec}^2}{\text{m}^4}$ |
| M | 72.29 | 30.71 |
| ν | 39.91 | 12.67 |
| g_a | 0.0361 | 0.0366 |

表、実験による
模型の構造量

記号説明:

w_{x1}, w_{x2} …曲げと
捩りの一次振動数

M …単位質量

I_d …回転慣性
モーメント

$$M = M / I_d b^2$$

$$\nu = I_d / \pi c^3 b^4$$